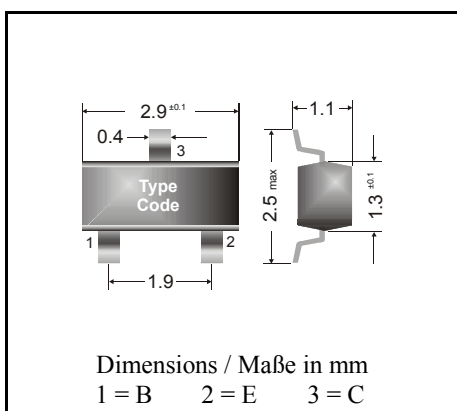


PNP

### Surface mount Si-Epitaxial PlanarTransistors Si-Epitaxial PlanarTransistoren für die Oberflächenmontage

PNP



Power dissipation – Verlustleistung	250 mW
Plastic case Kunststoffgehäuse	SOT-23 (TO-236)
Weight approx. – Gewicht ca.	0.01 g
Plastic material has UL classification 94V-0 Gehäusematerial UL94V-0 klassifiziert	
Standard packaging taped and reeled Standard Lieferform gegurtet auf Rolle	

**Maximum ratings ( $T_A = 25^\circ\text{C}$ )****Grenzwerte ( $T_A = 25^\circ\text{C}$ )**

		BC 856	BC 857/860	BC 858/859
Collector-Emitter-voltage	B open	- $V_{CE0}$	65 V	45 V
Collector-Base-voltage	E open	- $V_{CB0}$	80 V	50 V
Emitter-Base-voltage	C open	- $V_{EB0}$		5 V
Power dissipation – Verlustleistung	$P_{tot}$		250 mW <sup>1)</sup>	
Collector current – Kollektorstrom (DC)	- $I_C$		100 mA	
Peak Collector current – Kollektor-Spitzenstrom	- $I_{CM}$		200 mA	
Peak Base current – Basis-Spitzenstrom	- $I_{BM}$		200 mA	
Peak Emitter current – Emitter-Spitzenstrom	$I_{EM}$		200 mA	
Junction temperature – Sperrschiesschichttemperatur	$T_j$		150°C	
Storage temperature – Lagerungstemperatur	$T_s$		- 65...+ 150°C	

**Characteristics ( $T_j = 25^\circ\text{C}$ )****Kennwerte ( $T_j = 25^\circ\text{C}$ )**

	Group A	Group B	Group C	
DC current gain – Kollektor-Basis-Stromverhältnis <sup>2)</sup> - $V_{CE} = 5 \text{ V}$ , - $I_C = 10 \mu\text{A}$ - $V_{CE} = 5 \text{ V}$ , - $I_C = 2 \text{ mA}$	$h_{FE}$  $h_{FE}$	typ. 90  110...220	typ. 150  200...450	typ. 270  420...800
h-Parameters at - $V_{CE} = 5 \text{ V}$ , - $I_C = 2 \text{ mA}$ , f = 1 kHz Small signal current gain Kleinsignal-Stromverstärkung	$h_{fe}$	typ. 220	typ. 330	typ. 600
Input impedance – Eingangs-Impedanz	$h_{ie}$	1.6...4.5 kΩ	3.2...8.5 kΩ	6...15 kΩ
Output admittance – Ausgangs-Leitwert	$h_{oe}$	18 < 30 μS	30 < 60 μS	60 < 110 μS
Reverse voltage transfer ratio Spannungsrückwirkung	$h_{re}$	typ. 1.5 * 10 <sup>-4</sup>	typ. 2 * 10 <sup>-4</sup>	typ. 3 * 10 <sup>-4</sup>

<sup>1)</sup> Mounted on P.C. board with 3 mm<sup>2</sup> copper pad at each terminal  
Montage auf Leiterplatte mit 3 mm<sup>2</sup> Kupferbelag (Lötpad) an jedem Anschluß

<sup>2)</sup> Tested with pulses  $t_p = 300 \mu\text{s}$ , duty cycle ≤ 2% – Gemessen mit Impulsen  $t_p = 300 \mu\text{s}$ , Schaltverhältnis ≤ 2%

Characteristics ( $T_j = 25^\circ\text{C}$ )Kennwerte ( $T_j = 25^\circ\text{C}$ )

		Min.	Typ.	Max.
Collector saturation volt. – Kollektor-Sättigungsspannung <sup>1)</sup>				
- $I_C = 10 \text{ mA}$ , - $I_B = 0.5 \text{ mA}$	$-V_{CEsat}$	–	90 mV	250 mV
- $I_C = 100 \text{ mA}$ , - $I_B = 5 \text{ mA}$	$-V_{CEsat}$	–	200 mV	600 mV
Base saturation voltage – Basis-Sättigungsspannung <sup>1)</sup>				
- $I_C = 10 \text{ mA}$ , - $I_B = 0.5 \text{ mA}$	$-V_{BEsat}$	–	700 mV	–
- $I_C = 100 \text{ mA}$ , - $I_B = 5 \text{ mA}$	$-V_{BEsat}$	–	900 mV	–
Base-Emitter voltage – Basis-Emitter-Spannung <sup>1)</sup>				
- $V_{CE} = 5 \text{ V}$ , - $I_C = 2 \text{ mA}$	$-V_{BEon}$	600 mV	650 mV	750 mV
- $V_{CE} = 5 \text{ V}$ , - $I_C = 10 \text{ mA}$	$-V_{BEon}$	–	–	820 mV
Collector-Base cutoff current – Kollektorreststrom				
$I_E = 0$ , - $V_{CB} = 30 \text{ V}$	$-I_{CB0}$	–	–	15 nA
$I_E = 0$ , - $V_{CB} = 30 \text{ V}$ , $T_j = 150^\circ\text{C}$	$-I_{CB0}$	–	–	5 $\mu\text{A}$
Emitter-Base cutoff current – Emitterreststrom				
$I_C = 0$ , - $V_{EB} = 5 \text{ V}$	$-I_{EB0}$	–	–	100 nA
Gain-Bandwidth Product – Transitfrequenz				
- $V_{CE} = 5 \text{ V}$ , - $I_C = 10 \text{ mA}$ , $f = 100 \text{ MHz}$	$f_T$	100 MHz	–	–
Collector-Base Capacitance – Kollektor-Basis-Kapazität				
- $V_{CB} = 10 \text{ V}$ , $I_E = i_e = 0$ , $f = 1 \text{ MHz}$	$C_{CB0}$	–	–	6 pF
Noise figure – Rauschzahl				
- $V_{CE} = 5 \text{ V}$ , - $I_C = 200 \mu\text{A}$ $R_G = 2 \text{ k}\Omega$ , $f = 1 \text{ kHz}$ , $\Delta f = 200 \text{ Hz}$	BC 856... BC 858 BC 859/860	F	–	2 dB
- $V_{CE} = 5 \text{ V}$ , - $I_C = 200 \mu\text{A}$ $R_G = 2 \text{ k}\Omega$ , $f = 30 \dots 15 \text{ kHz}$	BC 859 BC 860	F	–	1 dB
- $V_{CE} = 5 \text{ V}$ , - $I_C = 200 \mu\text{A}$ $R_G = 2 \text{ k}\Omega$ , $f = 10 \dots 50 \text{ Hz}$	BC 860	$u_F$	–	1.2 dB
Equivalent noise voltage – Äquivalente Rauschspannung				
- $V_{CE} = 5 \text{ V}$ , - $I_C = 200 \mu\text{A}$ $R_G = 2 \text{ k}\Omega$ , $f = 10 \dots 50 \text{ Hz}$	BC 860	$u_F$	–	0.11 $\mu\text{V}$
Thermal resistance junction to ambient air Wärmewiderstand Sperrsicht – umgebende Luft		$R_{thA}$		420 K/W <sup>2)</sup>
Recommended complementary NPN transistors Empfohlene komplementäre NPN-Transistoren			BC 846 ... BC 850	
Marking of available current gain groups per type Stempelung der lieferbaren Stromverstärkungsgruppen pro Typ	BC 856A = 3A BC 857A = 3E BC 858A = 3J	BC 856B = 3B BC 857B = 3F BC 858B = 3K	BC 857C = 3G BC 858C = 3L BC 859B = 4B	BC 859C = 4C BC 860B = 4F BC 860C = 4G

<sup>1)</sup> Tested with pulses  $t_p = 300 \mu\text{s}$ , duty cycle  $\leq 2\%$  – Gemessen mit Impulsen  $t_p = 300 \mu\text{s}$ , Schaltverhältnis  $\leq 2\%$ <sup>2)</sup> Mounted on P.C. board with  $3 \text{ mm}^2$  copper pad at each terminal  
Montage auf Leiterplatte mit  $3 \text{ mm}^2$  Kupferbelag (Lötpad) an jedem Anschluß